

名古屋工業大学 正員 荒井利一郎  
名古屋工業大学 学生員 水谷 敏則

### 1. はしがき

薄肉円断面エルボー材の両端に材軸面内の曲げモーメントが作用したとき、その中央断面付近で断面の扁平化が現われるため弹性範囲内ですぐに曲げモーメントの増加割合よりも曲率の増加割合の方が漸次的に大きくなり、いわゆる弹性屈伏状態が生ずる。

この屈伏段階において薄肉円断面エルボー材は必ず普通のハリ理論によって変形し、さらにこの状態から変形して中央付近に著しい断面の扁平化を生ずるものであるとして、後者による各変位をZernaの近似曲げ理論から求め、境界条件からでは決定の困難な諸定数を位置エネルギー極小の原理(Principle of minimum total potential energy)を用いて求めた後、曲げモーメントと静断面力との釣合を表わした式にそれら諸定数を代入することにより曲げモーメントと曲率の変化との関係を見出すことにした。

### 2. 近似曲げ理論

円筒曲面に関するZernaの近似曲げ理論によれば<sup>(1)(2)</sup>  
適当な簡単化により次の様な関数 $\Psi$ に関する4階複  
素微分方程式となる。ただし式中の諸記号は図-1,  
2に示し、 $\lambda = R\theta/a$ として $\partial^2 \Psi / \partial x^2 = f'$ ,  $\partial^2 \Psi / \partial \phi^2 = f''$ とする。

$$\Delta \Delta \Psi - 4i k^2 \Psi'' = 0$$

ただし  $\Psi = w + i K \phi$

$$k^2 = a \sqrt{3(1-\mu^2)} / 2\alpha$$

$$K = (a/\alpha)^2 \cdot \sqrt{12(1-\mu^2)} / E$$

$$N_z = \Psi' ; N_{\phi} = \Psi'' ; N_{x\phi} = N_{\phi z} = -\Psi'''$$

$$M_z = B/\alpha \cdot (w'' + \mu w''') ; M_{\phi} = B/\alpha \cdot (w''' + \mu w'')$$

$$M_{z\phi} = M_{\phi z} = B/\alpha \cdot (1-\mu) w''$$

$$B = E \alpha^3 / 12(1-\mu^2)$$

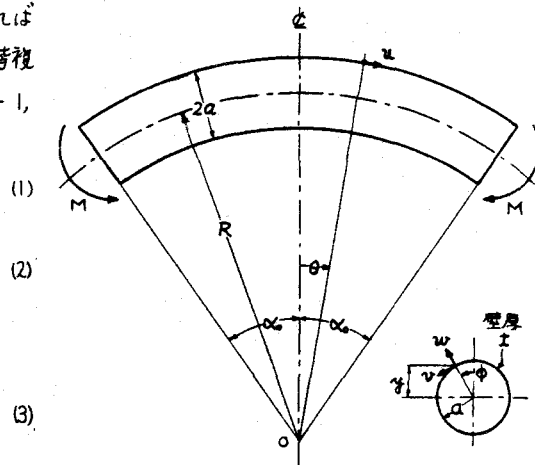


図-1

いま中央断面で著しい扁平化が生じるものとして(1)  
式の解を次のようにおく。

$$\Psi = \sum C_m n e^{mz} \cos np$$

(4)式を(1)式に代入すると特性方程式として

$$(m^2 - n^2)^2 - 4i k^2 m^2 = 0$$

これを解いて次の4根が得られる。

$$m_1 = -\alpha_1 \mp i \beta_1 ; m_2 = \alpha_1 \pm i \beta_1$$

$$\text{ただし } \alpha_1 = \sqrt{n^4 + k^4 + r^2} / \sqrt{2} \pm k / \sqrt{2}$$

$$\beta_1 = k / \sqrt{2} \pm \sqrt{r^2 + k^2 - n^2} / \sqrt{2}$$

従つて4つの積分定数をもつ解が得られるが、両端

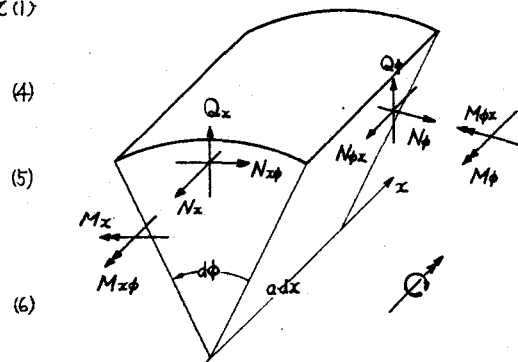


図-2

では断面の扁平化の影響がほとんど現われないと考えれば指数が正の項 ( $e^{nx}$ ,  $e^{dx}$ ) の積分定数は恒等的に零となるべきであるからこの場合の解として

$$\Psi = \sum \{ C_{1n} e^{-nx} (\cos \beta_1 x - i \sin \beta_1 x) + C_{2n} e^{dx} (\cos \beta_2 x + i \sin \beta_2 x) \} \cos n\phi \quad (7)$$

(2) オイ式によって(7)式を実部と虚部とに分けると

$$W = \sum \{ e^{-nx} (-C_1^0 \cos \beta_1 x + C_2^0 \sin \beta_1 x) + e^{dx} (C_3^0 \cos \beta_2 x - C_4^0 \sin \beta_2 x) \} \cos n\phi \quad (8)$$

$$K\Phi = \sum \{ e^{-nx} (-C_1^0 \sin \beta_1 x + C_2^0 \cos \beta_1 x) + e^{dx} (C_3^0 \sin \beta_2 x + C_4^0 \cos \beta_2 x) \} \cos n\phi$$

従て(3)式により各断面力は

$$N_x = \sum \{ -n^2 / K \cdot \{ e^{-nx} (-C_1^0 \sin \beta_1 x + C_2^0 \cos \beta_1 x) + e^{dx} (C_3^0 \sin \beta_2 x + C_4^0 \cos \beta_2 x) \} \} \cos n\phi \quad (9)$$

$$N_\phi = \sum \{ 1 / K \cdot \{ e^{-nx} (-C_1^0 \sin \beta_1 x + C_2^0 \cos \beta_1 x) + e^{dx} (C_3^0 \sin \beta_2 x + C_4^0 \cos \beta_2 x) \} \} \cos n\phi$$

$$N_{x\phi} = \sum \{ n^2 / K \cdot \{ e^{-nx} (-C_1^0 \sin \beta_1 x + C_2^0 \cos \beta_1 x) + e^{dx} (C_3^0 \sin \beta_2 x + C_4^0 \cos \beta_2 x) \} \} \sin n\phi$$

$$M_x = B/\alpha \cdot \sum \{ (e^{-nx} (C_1^0 \cos \beta_1 x + C_2^0 \sin \beta_1 x) + e^{dx} (C_3^0 \cos \beta_2 x - C_4^0 \sin \beta_2 x))$$

$$- n^2 \mu \{ e^{-nx} (C_1^0 \cos \beta_1 x + C_2^0 \sin \beta_1 x) + e^{dx} (C_3^0 \cos \beta_2 x - C_4^0 \sin \beta_2 x) \} \} \cos n\phi$$

$$M_\phi = B/\alpha \cdot \sum \{ -n^2 \{ e^{-nx} (C_1^0 \cos \beta_1 x + C_2^0 \sin \beta_1 x) + e^{dx} (C_3^0 \cos \beta_2 x - C_4^0 \sin \beta_2 x) \}$$

$$+ \mu \{ e^{-nx} (C_1^0 \cos \beta_1 x + C_2^0 \sin \beta_1 x) + e^{dx} (C_3^0 \cos \beta_2 x - C_4^0 \sin \beta_2 x) \} \} \cos n\phi$$

$$M_{x\phi} = B/\alpha(1-\mu) \cdot \sum \{ -n \{ e^{-nx} (C_1^0 \cos \beta_1 x + C_2^0 \sin \beta_1 x) + e^{dx} (C_3^0 \cos \beta_2 x - C_4^0 \sin \beta_2 x) \} \} \sin n\phi$$

又、 $U/a = \Sigma x = (N_x - \mu N_\phi) / D(1-\mu^2)$  及び  $U/a + U/a = \gamma_{x\phi} = 2N_{x\phi} / D(1-\mu)$  より  $U$  及び  $\gamma$  は

$$U = \sum \{ -\alpha / K E I \cdot [n^2 \{ e^{-nx} (-C_1^0 \sin \beta_1 x + C_2^0 \cos \beta_1 x) + e^{dx} (C_3^0 \sin \beta_2 x + C_4^0 \cos \beta_2 x) \} \\ + \mu \{ e^{-nx} (-C_1^0 \sin \beta_1 x + C_2^0 \cos \beta_1 x) + e^{dx} (C_3^0 \sin \beta_2 x + C_4^0 \cos \beta_2 x) \}] \} \cos n\phi \quad (10)$$

$$\gamma = \sum \{ n \alpha / K E I \cdot [(2+\mu) \{ e^{-nx} (-C_1^0 \sin \beta_1 x + C_2^0 \cos \beta_1 x) + e^{dx} (C_3^0 \sin \beta_2 x + C_4^0 \cos \beta_2 x) \} \\ - n^2 \{ e^{-nx} (-C_1^0 \sin \beta_1 x + C_2^0 \cos \beta_1 x) + e^{dx} (C_3^0 \sin \beta_2 x + C_4^0 \cos \beta_2 x) \}] \} \sin n\phi$$

$$\text{ただし } {}_n C_2^P = -\alpha_1 {}_n C_2^P \pm \beta_1 {}_n C_2^P; \quad {}_n C_3^P = -\alpha_2 {}_n C_3^P \mp \beta_2 {}_n C_3^P \quad (11)$$

普通のハリ理論による各変位及び各断面力は、材軸の曲率の増加量を  $C$  とすれば

$$U = ca^2 x \cos \phi; \quad V = ca^2 x^2 / 2 \cdot \sin \phi; \quad W = -ca^2 x^2 / 2 \cdot \cos \phi; \quad \left. \begin{array}{l} \\ \\ \end{array} \right\} \quad (12)$$

$$N_x = E I c \cos \phi; \quad N_\phi = 0; \quad N_{x\phi} = 0; \quad M_x = -E J^3 C / 12 \cdot \cos \phi; \quad M_\phi = 0; \quad M_{x\phi} = 0$$

ここにおいて、薄肉円断面エルボー材はまず普通のハリ理論によって変形し、さらにこの状態から変形して中央付近に著しい断面の扁平化を生ずるものと考えれば、全変位及び全断面力は(12)式と(8)オイ式及び(9)(10)各式との夫々の和によって表わされるものである。ただし後者については  $n \geq 2$  の項を加算するものとする。

### 3. 境界条件

両端での境界条件は(7)式ですでに考慮されているから、中央断面での境界条件について調べると

$$\left. \begin{array}{l} [U]_{x=0} = 0 \quad \text{より} \quad n^2 (C_2^0 + C_4^0) + \mu (C_2^0 + C_4^0) = 0 \\ [\partial W / \partial x]_{x=0} = 0 \quad \text{より} \quad C_2^0 + C_4^0 = 0 \\ [N_{x\phi}]_{x=0} = 0 \quad \text{より} \quad C_2^0 + C_4^0 = 0 \end{array} \right\} \quad (13)$$

従て(8)(9)(10)各式の  $\cos n\phi$  ( $\sin n\phi$ ) の各項の積分定数は夫々  ${}_n C_i^0$  ( $n=2, 3, \dots$ ) の関数として表わされる。

### 4. 位置エネルギー

材軸方向の伸び歪による歪エネルギー  $W_1$  は  $x$  の項に対して  $V, W$  の自乗及び積を無視すると

$$W_{21} = E t c^2 a^2 / 2 \cdot \int_0^{R/2} \int_0^{2\pi} (a^2 \cos^2 \phi + 2a w \cos^2 \phi - 2a v \sin \phi \cdot \cos \phi) d\phi \cdot dx \quad (14)$$

モーメントによる位置エネルギー  $W_{22}$  は

$$W_{22} = 1/2 \cdot \int_0^{R/2} \int_0^{2\pi} (M_x K_x + M_\phi K_\phi + M_{x\phi} K_{x\phi} + M_{\phi x} K_{\phi x}) a \cdot d\phi \cdot dx \quad (15)$$

ただし  $K_x = (w'' - a \cos \phi / R \cdot u') / a^2$ ;  $K_\phi = (w'' - v') / a^2$ ;  $K_{x\phi} = (w' - a \cos \phi / R \cdot u') / a^2$ ;  $K_{\phi x} = (w' - a \cos \phi / R \cdot u') / a^2$

曲げモーメント(外力)のなす仕事  $W_e$  は

$$W_e = R \alpha_0 C M \quad (16)$$

位置エネルギー  $\bar{W} = W_{21} + W_{22} - W_e$  に節2で求めた各変位及び各断面力を代入すれば、 $\bar{W}$  は  $C^n$  ( $n=2, 3, \dots$ ) の関数として表わされるからここで位置エネルギー極小の原理を用いると

$$\frac{\partial \bar{W}}{\partial C^n} = 0 \quad (n=2, 3, \dots) \quad (17)$$

この式により  $C^n$  が決定される。

## 5. 曲げモーメントと曲率の変化との関係

中央断面において各断面力と曲げモーメントとの釣合条件式を書くと

$$M = \int_0^{2\pi} [N_x y - M_x \cos \phi] a \cdot d\phi \quad (18)$$

$N_x$  に対して  $M_x$  は微小であるから無視し、節2で求めた各断面力及び各変位を代入すると曲げモーメントは  $C^n$  の関数として表示されるから、前節で決定された  $C^n$  を代入すれば曲げモーメントと曲率の変化との関係が見出される。

2, 3の例についての計算結果( $n=2$ まで)を図-3に示す。なお図-4は  $\alpha/2=10, R/a=10$  の例について最大曲げモーメントが作用しているときの断面の变形状態を示したものである。

## 6. あとがき(結論にかえて)

Timoshenkoの曲りハリ理論によると断面力( $N_x$ )の分布は双曲線的なるものであろうが、本稿では直角バリーの理論によるもの即ち断面力( $N_x$ )の分布が直線的であるものとし、又2次的な変形としても部分的には直角的なハリとして計算を進めていたために  $R/a$  の影響がほとんど現われていない。しかし  $n=3$  の頃まで取ることにより断面力( $N_x$ )の分布に修正が加えられ曲りハリ理論に近い断面力( $N_x$ )の分布が得られるものと推定される。

## 参考文献

1) Ingenieur-Archiv XX. Band 1952 S.357~362

2) 土木学会誌 第43巻6号 講座「構造力学III」

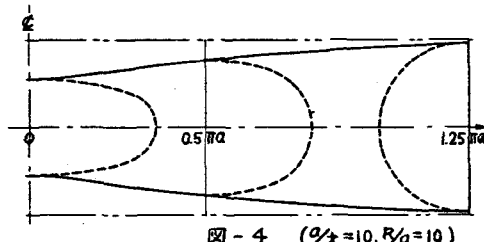
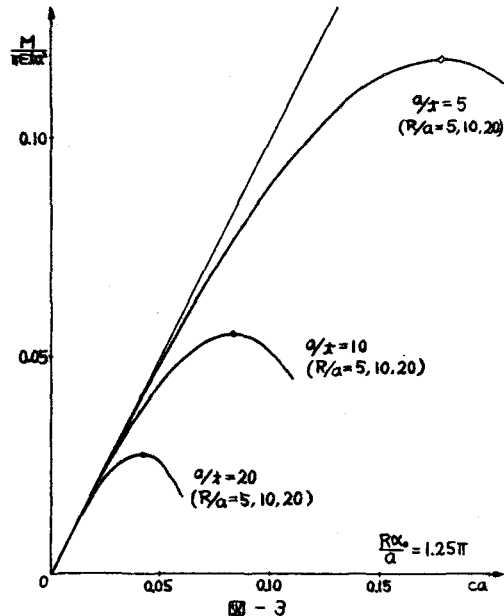


図-4 ( $\alpha/2=10, R/a=10$ )